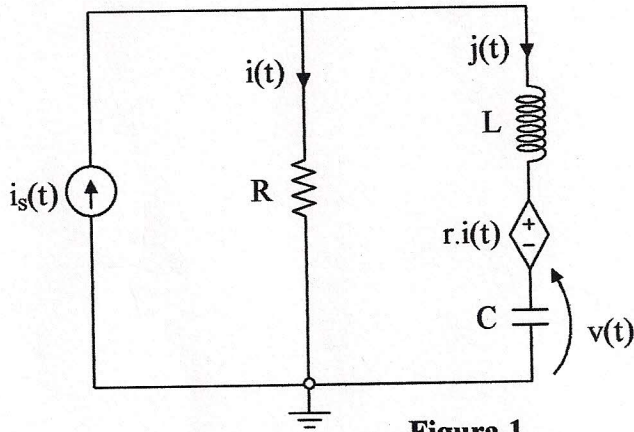


**PSL.3213 – CIRCUITOS ELÉTRICOS II**  
**2ª Prova Semestral – 18/10/17**  
**GABARITO**

**1ª Questão: ( 4,0 pontos )**

O circuito da Figura 1 será usado nos itens a) e b) desta questão.

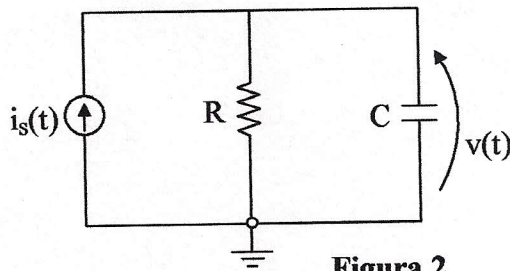


**Figura 1**

(1,5) a) Determine  $v(t)$  para  $t \geq 0$ . Considere apenas para este item os seguintes valores numéricos:  $R = 3\Omega$ ,  $r = 1\Omega$ ,  $L = 2H$ ,  $C = 1/2 F$ ,  $v(0_-) = 2V$ ,  $j(0_-) = 0$ ,  $i_s(t) = 2H(t)$  (A,s)

(1,3) b) Determine as condições para que o circuito livre seja assintoticamente estável e para que ele seja marginalmente estável.

(1,2) c) Determine se o circuito da Figura 2 é BIBO estável. Se for BIBO estável, justifique porque e, se for instável, apresente uma excitação limitada em amplitude que causa uma resposta  $v(t)$  de amplitude crescente sem limite finito. Há algum valor de elemento do circuito que o tornaria BIBO instável para alguma entrada de amplitude limitada?



**Figura 2**

# Gabarito

1) a) Relação constitutiva do capacitor:

$$J(s) = sC V(s) - C v(0_-)$$

2ª Lei de Kirchhoff com relações constitutivas de R e L:

$$sL J(s) - L j(0_-) = R I(s) - r I(s) - V(s)$$

1ª Lei de Kirchhoff no nó superior:

$$I(s) = I_s(s) - J(s)$$

Juntando as 3 equações, obtemos o sistema:

$$\begin{bmatrix} sC & -1 \\ 1 & (R-r) + sL \end{bmatrix} \begin{bmatrix} V(s) \\ J(s) \end{bmatrix} = \begin{bmatrix} C v(0_-) \\ L j(0_-) + (R-r) I_s(s) \end{bmatrix}$$

$\tau(s)$

$$\det(\tau(s)) = s^2 LC + s(R-r)C + 1 = LC \left( s^2 + \frac{(R-r)}{L} s + \frac{1}{LC} \right)$$

Substituindo os valores numéricos, obtemos

$$\begin{bmatrix} s/2 & -1 \\ 1 & 2s+2 \end{bmatrix} \begin{bmatrix} V(s) \\ J(s) \end{bmatrix} = \begin{bmatrix} 1 \\ 4/5 \end{bmatrix}$$

$$\det(\tau(s)) = s^2 + s + 1$$

$$V(s) = \frac{\begin{vmatrix} 1 & -1 \\ 4/5 & 2s+2 \end{vmatrix}}{s^2 + s + 1} = \frac{2s+2 + \frac{4}{5}}{s^2 + s + 1} = \frac{2s^2 + 2s + 4}{s(s^2 + s + 1)}$$

Expandindo  $V(s)$  em frações parciais, obtemos

$$V(s) = \frac{A}{s + \frac{1}{2} - j\frac{\sqrt{3}}{2}} + \frac{A^*}{s + \frac{1}{2} + j\frac{\sqrt{3}}{2}} + \frac{B}{s}$$

$$B = \left[ \frac{2s^2 + 2s + 4}{s^2 + s + 1} \right] \Big|_{s=0} \rightarrow B = 4$$

$$A = \left[ \frac{2s^2 + 2s + 4}{s(s + \frac{1}{2} + j\frac{\sqrt{3}}{2})} \right] \Big|_{s = -\frac{1}{2} + j\frac{\sqrt{3}}{2}} \rightarrow$$

$$A = -1 + j\frac{\sqrt{3}}{3} = 1,1547 \angle 150^\circ$$

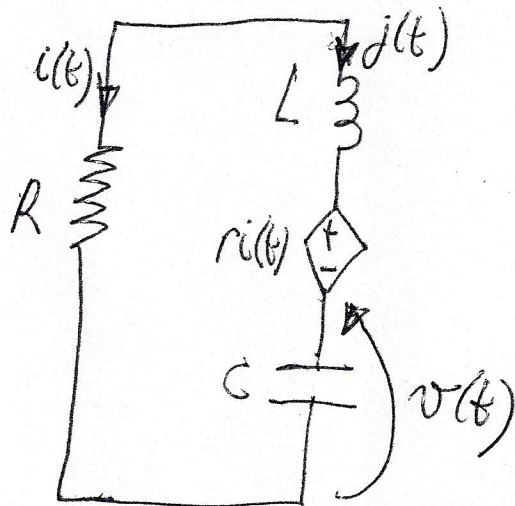
cuya autotransformada de Laplace é

$$N(s) = 4 H(s) + 1,1547 e^{-t/2} e^{j\left(\frac{\sqrt{3}}{2}t + 150^\circ\right)} H(s) \\ + 1,1547 e^{-t/2} e^{-j\left(\frac{\sqrt{3}}{2}t + 150^\circ\right)} H(s)$$

ou

$$N(s) = 4 H(s) + 2,3094 e^{-t/2} \cos(0,8660t + 150^\circ) H(s) \quad (V, s)$$

b) Consideremos a resposta do circuito livre.



A expressão da 2ª Lei de Kirchhoff na malha, produz

$$-R I(s) + sL J(s) - L j_0 + V(s) + r I(s) = 0$$

A expressão da 1ª Lei de Kirchhoff no nó superior é

$$I(s) = -J(s),$$

que, substituída na expressão da 2ª Lei, a torna

$$(R-r) J(s) + sL J(s) + V(s) = L j_0$$

Adicionamos a relação constitutiva do capacitor

$$J(s) - sC V(s) = C v_0$$

para montar o sistema de equações

$$\begin{bmatrix} R-r+sL & 1 \\ 1 & -sC \end{bmatrix} \begin{bmatrix} J(s) \\ V(s) \end{bmatrix} = \begin{bmatrix} L j_0 \\ C v_0 \end{bmatrix}$$

Cuja equação característica é

$$\det(T(s)) = 0$$

$$LC s^2 + (R-r)Cs + 1 = 0$$

que deve ter raízes com parte real <sup>neg.</sup> positiva para estabilidade assintótica isto é

i) estabilidade assintótica:  $(R-r)C > 0 \rightarrow \boxed{r < R}$

ii) estabilidade marginalmente assintótica:  $(R-r)C = 0 \rightarrow \boxed{r = R}$

e) A equação de análise nodal do circuito é

$$(G + sC)V(s) = I_s(s)$$

ou

$$V(s) = \frac{I_s(s)}{G + sC}$$

Se forem  $G > 0$  e  $C > 0$ , a resposta conterá uma exponencial decadente, que poderá ser inicialmente amplificada por um fator  $t$  se a excitação  $I_s(s)$  tiver o mesmo polo  $-G/C$ . Se o sinal de excitação for senoidal, aparecerá uma resposta senoidal adicional. Se o sinal de excitação for periódica, poderá ser decomposto em soma de senais senoidais com correspondentes termos limitados em amplitude na resposta.

Um comportamento instável pode aparecer quando  $G = 0$  e  $I_s(s) = \frac{A}{s}$ , quando a resposta tem transformada

$$V(s) = \frac{A}{s^2 C},$$

que, antitransformada, fica

$$v(t) = \frac{A}{C} t H(t),$$

portanto, sem limite finito.

**Atenção:** Preencher a folha ótica com seu nome, nº USP e opções escolhidas para cada teste.

Considere o circuito da Figura 3 para os testes de 1 a 3 em unidades S.I.

1 – Para que o circuito apresente uma frequência complexa própria nula, o valor de  $r$  deve ser tal que:

- a)  $r \in [-1, 1]$
- b)  $r = 0$
- c)  $r = 0$  ou  $r = 1$
- d)  $r = -\frac{2}{3}$
- e) Não é possível obter-se FCP nula.

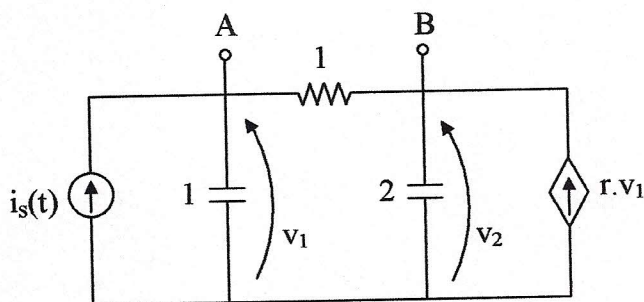


Figura 3

$$v_1(0_-) = 1$$

$$v_2(0_-) = 0$$

2 – Qual é a tensão  $V_{AB}$  do gerador de Thévenin visto entre A e B com  $r = -4$ .

- a)  $(I_s + 1) \frac{2s + 4}{2s^2 + 3s + 4}$
- b)  $(I_s + 1) \frac{2s}{2s^2 + 3s + 4}$
- c)  $I_s \frac{2s + 8}{2s^2 + 3s + 4}$
- d)  $(I_s + 2) \frac{2s}{2s^2 + s + 4}$
- e)  $(I_s - 1) \frac{2s + 4}{2s^2 + 3s + 4}$

3 – Para este item, suponha que o resistor foi retirado da rede. Quanto vale a impedância  $Z_0(s)$  de Thévenin visto entre A e B nestas condições?

- a)  $\frac{2s - r}{s}$
- b)  $\frac{s + r}{s^2}$
- c)  $\frac{2s + r}{s}$
- d)  $\frac{2s + 2r}{s^3}$
- e)  $\frac{3s - r}{2s^2}$

4 - Assinale a opção verdadeira:

- a) Em um bipolo em convenção do receptor a corrente instantânea de A para B é positiva apenas se a tensão de A para B também for positiva.
- b) Para determinar todas as FCPs de um circuito basta usar o denominador de uma função de rede escolhida.
- c) A superposição em Laplace com 2 geradores independentes e 2 elementos armazenadores de energia pode ser feita com 1 gerador e 1 condição inicial por vez, ou seja, com 2 circuitos (sem repetir o mesmo gerador ou a mesma c.i.).
- d) Podemos aplicar o Teorema de Thévenin a uma rede onde a tensão de um elemento não linear controle a corrente de um elemento linear.
- e) Uma FCP dupla deve aparecer em toda resposta livre com o grau 1 ou 2.

1

$$e_A \quad \Delta E_A - v_{10} + E_A - E_B - I_A = 0 \Rightarrow (\Delta + 1) E_A - E_B = I_A + v_{10}$$

$$e_B \quad E_B - E_A + 12 E_B - 2v_{20} - r \underset{\substack{\downarrow \\ E_A}}{I_1} = 0 \Rightarrow E_A(-1-r) + (2\Delta + 1) E_B = 2v_{20}$$

$$\begin{bmatrix} \Delta + 1 & -1 \\ -1 - r & 2\Delta + 1 \end{bmatrix} \begin{bmatrix} E_A \\ E_B \end{bmatrix} = \begin{bmatrix} I_A + v_{10} \\ 2v_{20} \end{bmatrix}$$

$$\det = (\Delta + 1)(2\Delta + 1) - (1 + r) = 2\Delta^2 + 3\Delta + 1 - 1 - r = 2\Delta^2 + 3\Delta - r$$

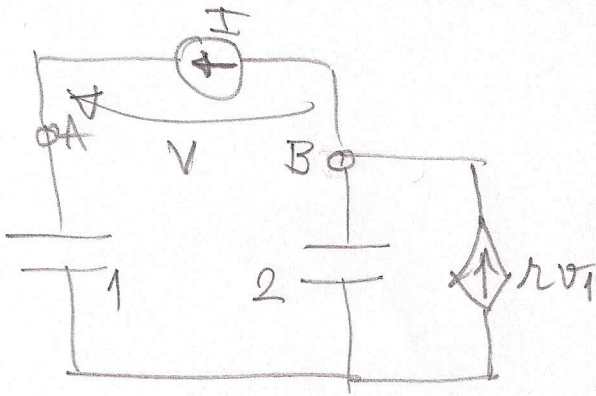
para fcp nula:  $r = 0$  pois  $\det = \Delta(2\Delta + 3)$

Outro jeito: Notar que, para  $r = 0$ , temos corte de cap. na rede livre. (Se  $r > 0$  vinculado domina a carga e se  $r < 0$  vinc. descarrega os caps).

$$\textcircled{2} \quad V_{AB} = E_A - E_B = \frac{\begin{vmatrix} I_A + 1 & -1 \\ 0 & 2\Delta + 1 \end{vmatrix} - \begin{vmatrix} \Delta + 1 & I_A + 1 \\ -1 - r & 0 \end{vmatrix}}{2\Delta^2 + 3\Delta - r} = \frac{(I_A + 1)[2\Delta + 1 - 1 - r]}{2\Delta^2 + 3\Delta - r}$$

$$\text{com } r = -4 \quad V_{AB} = (I_A + 1) \cdot \frac{2\Delta + 4}{2\Delta^2 + 3\Delta + 4}$$

3)



$$\left. \begin{aligned} \Delta E_A &= I \\ 2\Delta E_B - rE_A &= -I \end{aligned} \right\} \Rightarrow \begin{bmatrix} 1 & 0 \\ -r & 2\Delta \end{bmatrix} \begin{bmatrix} E_A \\ E_B \end{bmatrix} = \begin{bmatrix} I \\ -I \end{bmatrix}$$

$$\det = 2\Delta^2$$

$$E_A - E_B = \frac{\begin{vmatrix} I & 0 \\ -I & 2\Delta \end{vmatrix} - \begin{vmatrix} \Delta & I \\ -r & -I \end{vmatrix}}{2\Delta^2} = \frac{2\Delta I + \Delta I + rI}{2\Delta^2} = \frac{(3\Delta + r)I}{2\Delta^2}$$

$$Z_0(\Delta) = \frac{3\Delta + r}{2\Delta^2}$$

4) a correta é a da superposição.



5 – Deseja-se escrever as equações de análise do circuito da Figura 4 de modo a evitar o uso de integrais, no domínio do tempo, ou de termos do tipo  $1/s$  no domínio de Laplace. Para tanto, adotaram como incógnitas as correntes de malha  $i_1$  e  $i_2$  e a tensão  $v$  sobre o capacitor, conforme a Figura 4. As equações de análise podem ser escritas na forma matricial em Laplace como

$$\begin{bmatrix} R_1 & 0 & 1 \\ 0 & A & -1 \\ 1 & -1 & B \end{bmatrix} \begin{bmatrix} I_1(s) \\ I_2(s) \\ V(s) \end{bmatrix} = \begin{bmatrix} E_s \\ Li_0 \\ D \end{bmatrix} \quad \begin{array}{l} v(0_-) = v_0 \\ i_2(0_-) = i_0 \end{array}$$

Os termos A, B e D da equação acima correspondem respectivamente a:

- a)  $sL$ ;  $1/(sC)$ ;  $Cv_0$
- b)  $R_2 + sL$ ;  $sC$ ;  $-C/v_0$
- c)  $R_2$ ;  $-sC$ ;  $Cv_0$
- d)  $R_2 + sL$ ;  $-sC$ ;  $-Cv_0$**
- e)  $\frac{1}{sL}$ ;  $1/(sC)$ ;  $\frac{v_0}{s}$

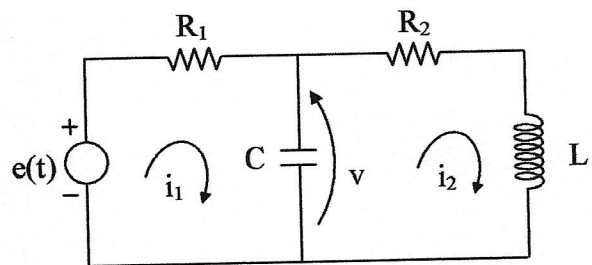
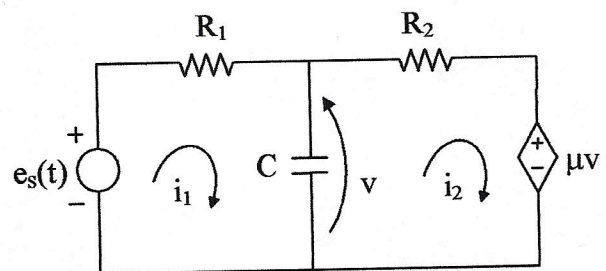


Figura 4

6 – Para realizar análise de malhas no circuito da Figura 5, a variável controladora do gerador vinculado  $v$  deve ser expressa em termos das correntes de malha. A expressão correta para  $V(s)$  nessa substituição é:

- a)  $\frac{1}{sC} (I_1 - I_2) + \frac{v_0}{s}$**
- b)  $-\frac{1}{sC} (I_1 - I_2)$
- c)  $sC(I_1 - I_2)$
- d)  $\frac{1}{sC} (I_1 - I_2) - \frac{v_0}{s}$
- e) n.d.a.



$v(0_-) = v_0$  Figura 5

7 – No circuito da Figura 6, a expressão da corrente  $i_2(t)$  com condições iniciais nulas é:

- a)  $(3,5 - 0,7 e^{-2t} - 4,5 e^{-2t}) H(t)$
- b)  $(3,5 - 4,2 e^{-2t} + 0,7 e^{-12t}) H(t)$**
- c)  $3,5 e^{-2t} \cos(4,2 t - 32,5^\circ) H(t)$
- d)  $(4,2 - 3,5 e^{-2t} - 0,7 e^{-12t}) H(t)$
- e)  $(0,7 e^{-12t} + 4,2 e^{-2t}) H(t)$

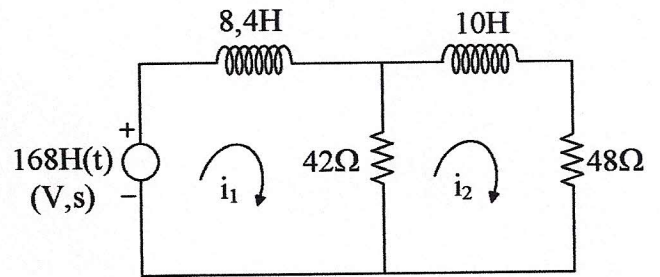


Figura 6

8 – Dado o circuito da Figura 7, a função de transferência  $\left. \frac{V_0(s)}{I_0(s)} \right|_{c.i.n.}$  é:

- a)  $\frac{s(s+4)}{4s^2 + 16s + 4}$
- b)  $\frac{s+4}{4s^2 + 12s + 1}$
- c)  $\frac{s}{4s^2 + 12s + 1}$
- d)  $\frac{s}{s^2 + 12s + \frac{1}{2s}}$
- e)  $\frac{4s(s+4)}{2s^2 + 12s + 1}$**

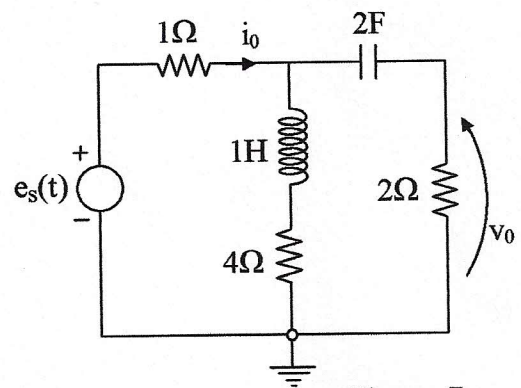
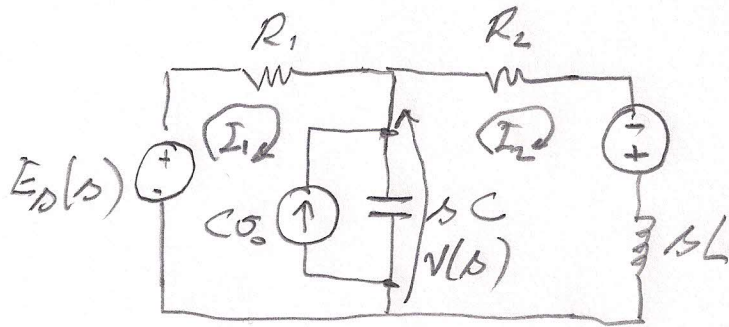


Figura 7

# Teste 5



$$E_D(s) = R_1 I_1 + V$$

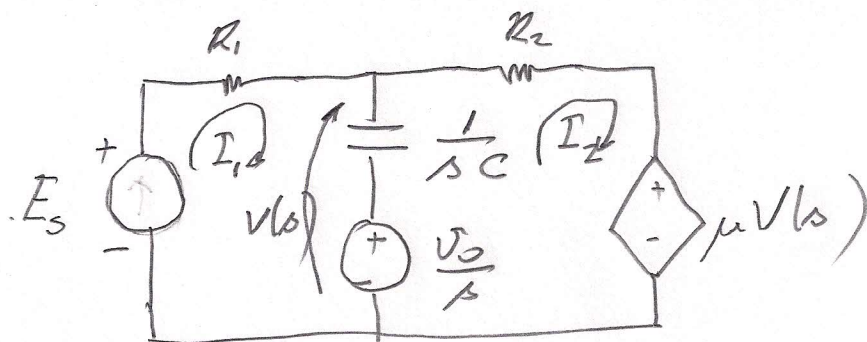
$$\Delta L I_2 = L i_0 + R_2 i_2 - V = 0$$

$$\Delta C V = I_1 - I_2 + C v_0$$

$$\begin{bmatrix} R_1 & 0 & 1 \\ 0 & R_2 + \Delta L & -1 \\ 1 & -1 & -\Delta C \end{bmatrix} \begin{bmatrix} I_1 \\ I_2 \\ V \end{bmatrix} = \begin{bmatrix} 0 \\ L i_0 \\ -C v_0 \end{bmatrix}$$

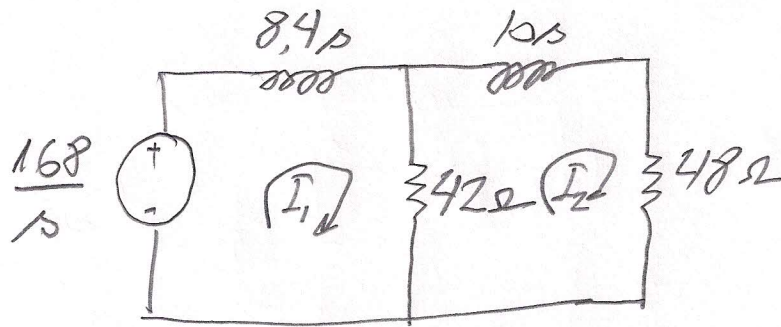
$$A = R_2 + \Delta L \quad B = -\Delta C \quad D = -C v_0$$

# Teste 6



$$V(s) = \frac{1}{\Delta C} (I_1 - I_2) + \frac{v_0}{s}$$

# Teste 7



condições iniciais  
nulas

$$\begin{bmatrix} 8,4/s + 42 & -42 \\ -42 & 30 + 10/s \end{bmatrix} \begin{bmatrix} I_1 \\ I_2 \end{bmatrix} = \begin{bmatrix} 168/s \\ 0 \end{bmatrix}$$

$$I_2 = \frac{\begin{vmatrix} 8,4/s + 42 & 168/s \\ -42 & 0 \end{vmatrix}}{(30 + 10/s)(8,4/s + 42) - 1764} = \frac{7056/s}{84(s^2 + 14s + 24)}$$

Determinando os pólos:

$$s_{1,2} = \frac{-14 \pm \sqrt{196 - 96}}{2} \rightarrow \begin{matrix} p_1 = -2 \\ p_2 = -12 \end{matrix}$$

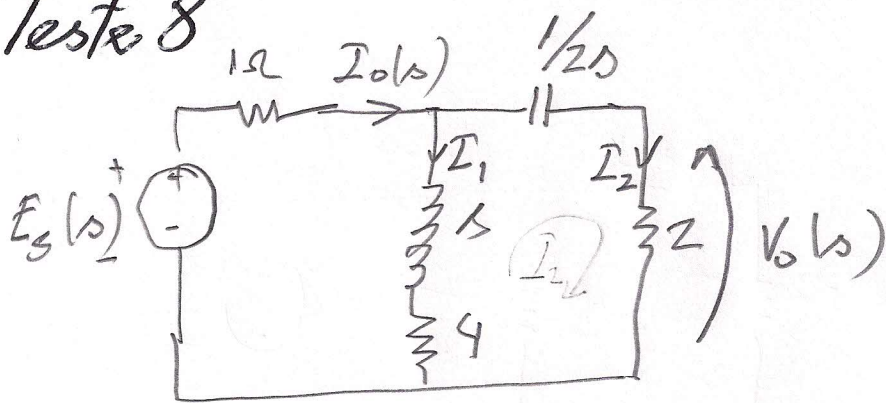
$$I_2 = \frac{84}{s(s+2)(s+12)} = \frac{A_1}{s} + \frac{A_2}{s+2} + \frac{A_3}{s+12}$$

$$A_1 = \frac{84}{24} = 3,5 \quad A_2 = \frac{84}{(-2)(10)} = -4,2$$

$$A_3 = \frac{84}{(-12)(-10)} = 0,7$$

$$\text{Logo } i_2(t) = 3,5 - 4,2e^{-2t} + 0,7e^{-12t}$$

# Teste 8



Aplicando a divisão de correntes

$$\bar{I}_2 = \frac{(s+4)I_0}{s+4+2+\frac{1}{2s}}$$

$$V_0 = 2\bar{I}_2 = \frac{2(s+4)I_0}{s+6+\frac{1}{2s}}$$

$$\left. \frac{V_0}{I_0} \right|_{c.i.g} = \frac{4s(s+4)}{2s^2+12s+1}$$

Considere o circuito da Figura 8 para os testes de 09 a 12, sendo  $k$  o coeficiente de acoplamento e a equação de análise de malhas referente à Malha 1 no domínio de Laplace:

$$(R_1 + sL_{eq1}) I_1(s) + sL_{eq2} I_2(s) = E_s(s) + L_{eq1} i_{10} + L_{eq2} i_{20}$$

9 - O valor de  $L_{eq1}$  é igual a:

Condições iniciais

$$i_1(0_-) = i_{10}$$

$$i_2(0_-) = i_{20}$$

a)  $L_1 + L_2 + k \sqrt{L_1 L_2}$

b)  $\frac{L_1 L_2 - k^2 \sqrt{L_1 L_2}}{L_1 + L_2}$

c)  $L_1 + L_2 - k \sqrt{L_1 L_2}$

d)  $L_2 + \frac{R_2}{r} k \sqrt{L_1 L_2}$

e)  $\frac{L_1 L_2 + k^2 \sqrt{L_1 L_2}}{\frac{R_2}{r} + 2k \sqrt{L_1 L_2}}$

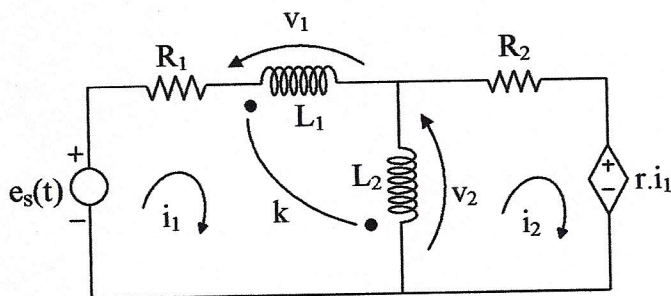


Figura 8

*Esta questão foi anulada porque não há resposta correta.*

10 - O valor de  $L_{eq2}$  é igual a:

a)  $L_1 + L_2 + k \sqrt{L_1 L_2}$

b)  $L_1 + L_2 - k \sqrt{L_1 L_2}$

c)  $k \sqrt{L_1 L_2} - L_1$

d)  $k \sqrt{L_1 L_2} - L_2$

e)  $L_2 + k \sqrt{L_1 L_2}$

11 - A equação de análise de malhas em Laplace referente à Malha 2 é:

a)  $(r - sL_2 + sk \sqrt{L_1 L_2}) I_1(s) + (R_2 + sL_2) I_2(s) = -(L_2 - k \sqrt{L_1 L_2}) i_{10} + L_2 i_{20}$

b)  $(r + sk \sqrt{L_1 L_2}) I_1(s) + (R_2 + sL_2) I_2(s) = k \sqrt{L_1 L_2} i_{10} + L_2 i_{20}$

c)  $(r + sL_2) I_1(s) + (R_2 + sL_2) I_2(s) = L_2 (i_{10} - i_{20})$

d)  $-(sL_2 + k \sqrt{L_1 L_2}) I_1(s) + (R_2 + r + sL_2) I_2(s) = L_2 i_{20}$

e)  $(r + sL_2 + sk \sqrt{L_1 L_2}) I_1(s) + (R_2 + sL_2) I_2(s) = L_2 i_{20}$

12 – Para determinados valores dos componentes e no caso de **acoplamento perfeito** e condições iniciais nulas, obteve-se a seguinte equação de análise de malhas em Laplace:

$$\begin{bmatrix} s+1 & -2s \\ r-2s & 4s+2 \end{bmatrix} \begin{bmatrix} I_1(s) \\ I_2(s) \end{bmatrix} = \begin{bmatrix} s/(s^2+16) \\ 0 \end{bmatrix}$$

Nessas condições pode-se afirmar que:

- a) O circuito apresenta uma FCP nula devido ao laço de indutores.
- b) O circuito é instável independentemente do valor de  $r$ .
- c) O circuito é redutível devido ao acoplamento perfeito e assintoticamente estável para  $r > -3$
- d) O circuito é marginalmente estável para  $r = 0$
- e) O acoplamento perfeito faz com que uma FCP do circuito seja nula e a outra igual a  $-1/3$  para  $r = 0$

PSI3213 – Gabarito dos Testes 9 a 12 da P2 – 2017

9) e 10) Vamos fazer a análise de malhas desse circuito em Laplace. Para isso, vamos primeiramente transformar as expressões de

$$v_1(t) = L_1 \frac{di_1}{dt} - k\sqrt{L_1 L_2} \frac{d(i_1 - i_2)}{dt} = (L_1 - k\sqrt{L_1 L_2}) \frac{di_1}{dt} + k\sqrt{L_1 L_2} \frac{di_2}{dt}$$

e

$$v_2(t) = L_2 \frac{d(i_1 - i_2)}{dt} - k\sqrt{L_1 L_2} \frac{di_1}{dt} = (L_2 - k\sqrt{L_1 L_2}) \frac{di_1}{dt} - L_2 \frac{di_2}{dt},$$

o que leva a

$$V_1(s) = s (L_1 - k\sqrt{L_1 L_2}) I_1(s) - (L_1 - k\sqrt{L_1 L_2}) i_{10} + sk\sqrt{L_1 L_2} I_2(s) - k\sqrt{L_1 L_2} i_{20}$$

e

$$V_2(s) = s (L_2 - k\sqrt{L_1 L_2}) I_1(s) - (L_2 - k\sqrt{L_1 L_2}) i_{10} - sL_2 I_2(s) + L_2 i_{20}.$$

A segunda LK na Malha 1 é dada por

$$R_1 I_1(s) + V_1(s) + V_2(s) = E_s(s),$$

ou seja,

$$\begin{aligned} \left[ R_1 + s (L_1 + L_2 - 2k\sqrt{L_1 L_2}) \right] I_1(s) + s (k\sqrt{L_1 L_2} - L_2) I_2(s) &= E_s(s) \\ + (L_1 + L_2 - 2k\sqrt{L_1 L_2}) i_{10} + (k\sqrt{L_1 L_2} - L_2) i_{20} \end{aligned}$$

Comparando com a equação fornecida, obtém-se

$$\boxed{L_{eq1} = L_1 + L_2 - 2k\sqrt{L_1 L_2}}$$

e

$$\boxed{L_{eq2} = k\sqrt{L_1 L_2} - L_2}$$

11) A equação da segunda LK na Malha 2 leva a

$$r I_1(s) + R_2 I_2(s) - V_2(s) = 0$$

ou seja

$$\boxed{\left[ r - s (L_2 - k\sqrt{L_1 L_2}) \right] I_1(s) + (R_2 + sL_2) I_2(s) = - (L_2 - k\sqrt{L_1 L_2}) i_{10} + L_2 i_{20}}$$



12) Calculando o determinante da matriz de sistema temos

$$\text{Det}(Z_m) = (s+1)(4s+2) - (-2s)(r-2s) = 4s^2 + 2s + 4s + 2 + 2rs - 4s^2 = (6+2r)s + 2$$

Devido ao acoplamento perfeito, o circuito é redutível e sua única FCP vale

$$s = -\frac{2}{6+2r}$$

Para que o circuito livre seja assintoticamente estável

$$6+2r > 0 \Rightarrow r > -3$$